

制御工学I 第10回

周波数特性

ナイキスト線図

ニコルス線図

過渡特性

平成21年6月22日

ナイキスト線図6

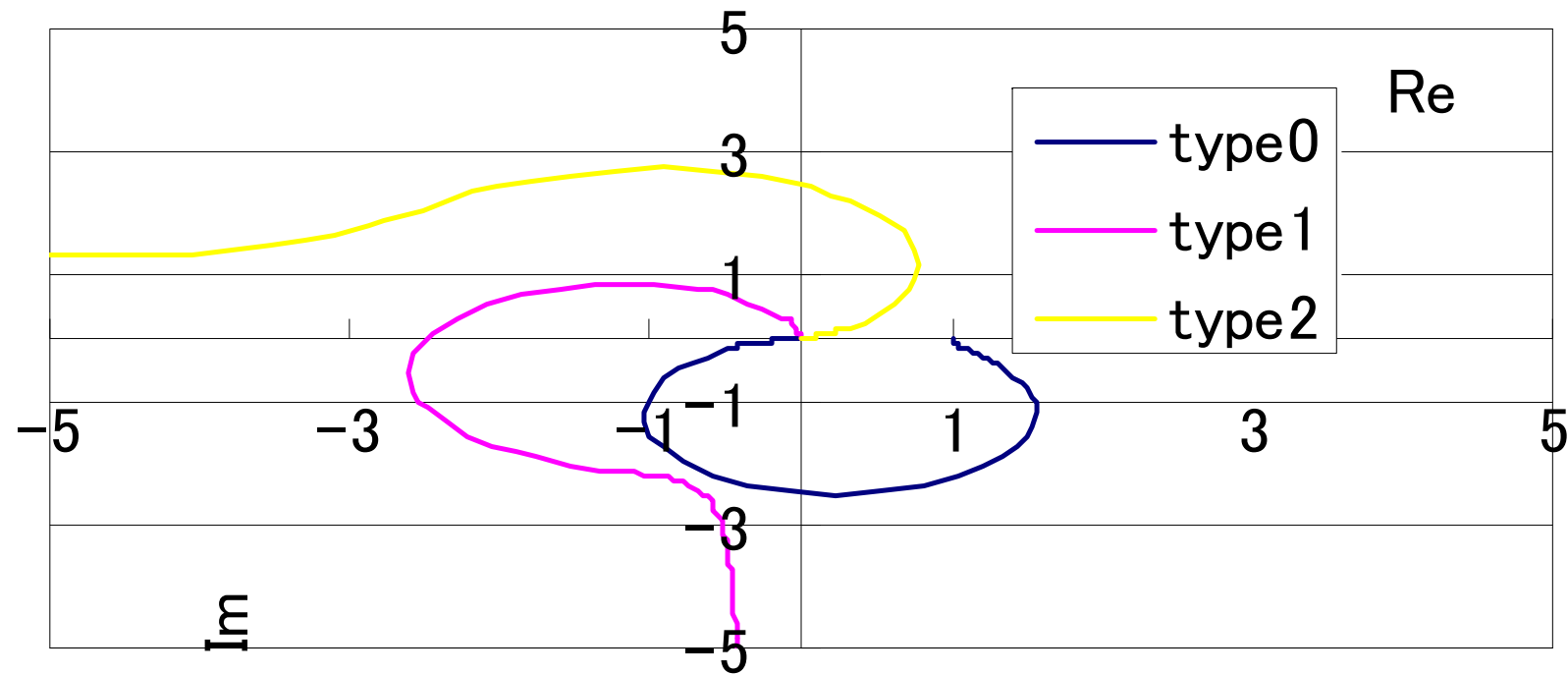
- 一般化した伝達関数のナイキスト線図
 - 分子の次数が分母より低い($n > m$)

$$G(s) = \frac{K(1+sT_{b1})(1+sT_{b2})\cdots(1+sT_{bn-\lambda})}{s^\lambda(1+sT_{a1})(1+sT_{a2})\cdots(1+sT_{an-\lambda})} \quad \text{分母の零根次数 } \lambda$$

$$= \frac{b_0 + b_1 s + \cdots + b_m s^m}{a_0 + a_1 s + \cdots + a_n s^n}$$

$$\begin{aligned} G(j\omega) &= \frac{K(1+j\omega T_{b1})(1+j\omega T_{b2})\cdots(1+j\omega T_{bn-\lambda})}{(j\omega)^\lambda(1+j\omega T_{a1})(1+j\omega T_{a2})\cdots(1+j\omega T_{an-\lambda})} \\ &= \frac{b_0 + b_1(j\omega) + \cdots + b_m(j\omega)^m}{a_0 + a_1(j\omega) + \cdots + a_n(j\omega)^n} \end{aligned}$$

ナイキスト線図7



ナイキスト線図8

- Type0($\lambda = 0$)
 - 開始点($\omega=0$)実軸上の点。傾きは虚軸に平行
 - 終端点($\omega=\infty$)原点
- Type1($\lambda = 1$)
 - 分母の $j\omega$ が -90° 位相をずらす
 - 開始点:振幅 ∞ , 位相 -90°
 - 終端点($\omega=\infty$):振幅0, 傾き:軸に平行
- Type2($\lambda = 2$)
 - 分母の $(j\omega)^2$ が -180° 位相をずらす
 - 開始点:振幅 ∞ , 位相 -180°
 - 終端点($\omega=\infty$):振幅0, 傾き:実軸の負の部分に平行

ニコルス線図

- 対数振幅(dB表示)-位相(位相余裕Φ-(-180))
 - ボード線図は対数振幅と位相を別の線で表示
 - ニコルス線図は同時に表示
 - 閉ループシステムの安定性が分かる
 - 正弦波伝達関数の $G(j\omega)$ と $1/G(j\omega)$ は歪対称

$$20 \log \left| \frac{1}{G(j\omega)} \right| = -20 \log |G(j\omega)|$$

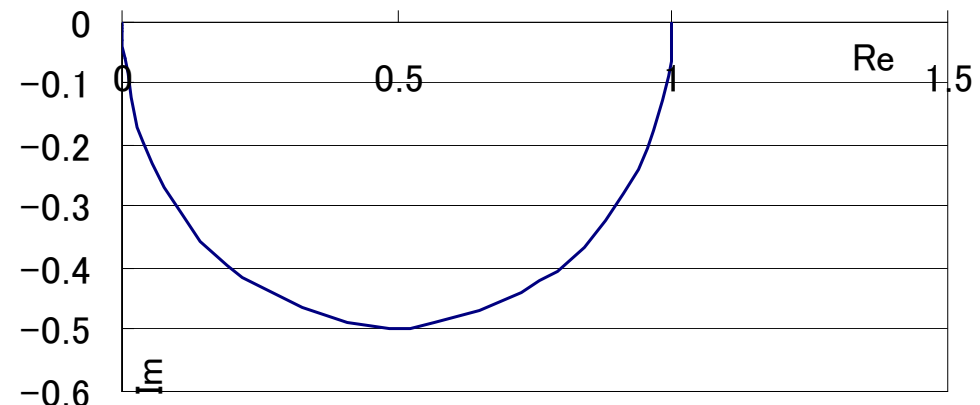
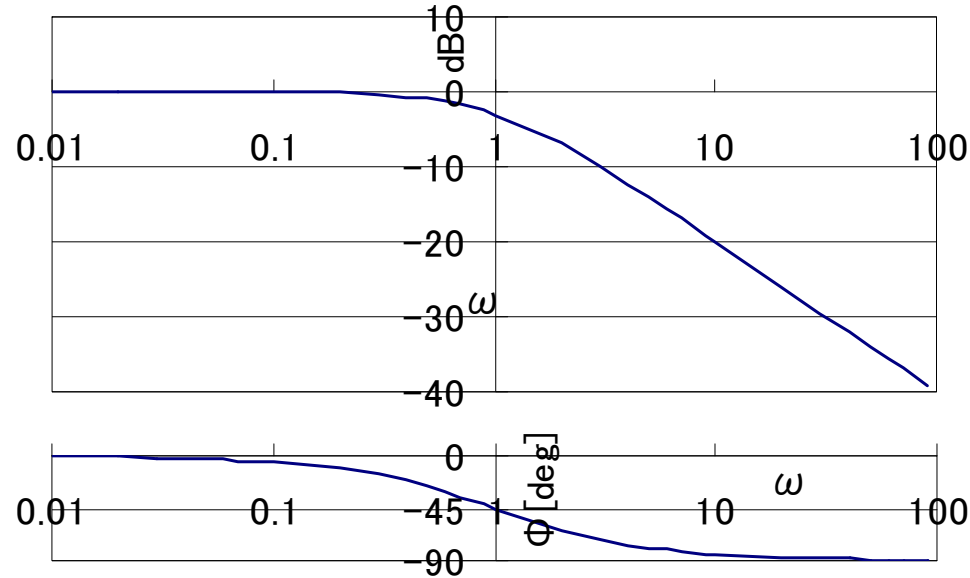
$$\angle \frac{1}{G(j\omega)} = -\angle G(j\omega)$$

ニコルス線図

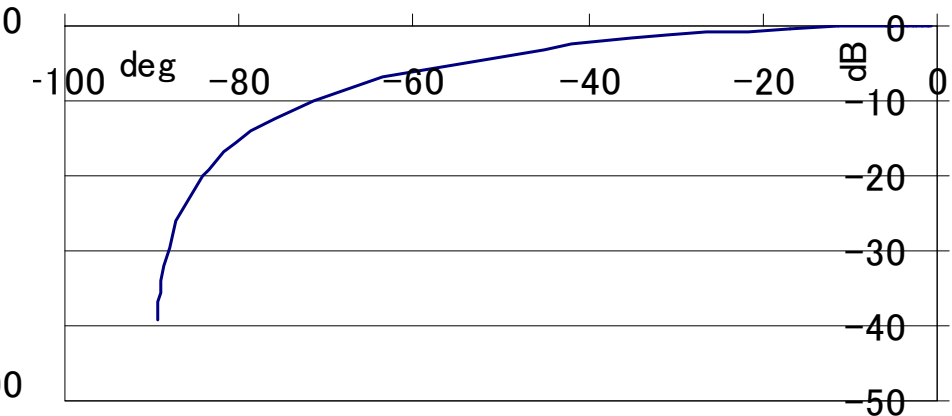
ナイキスト線図

$$\frac{1}{1+j\omega T}$$

ボード線図



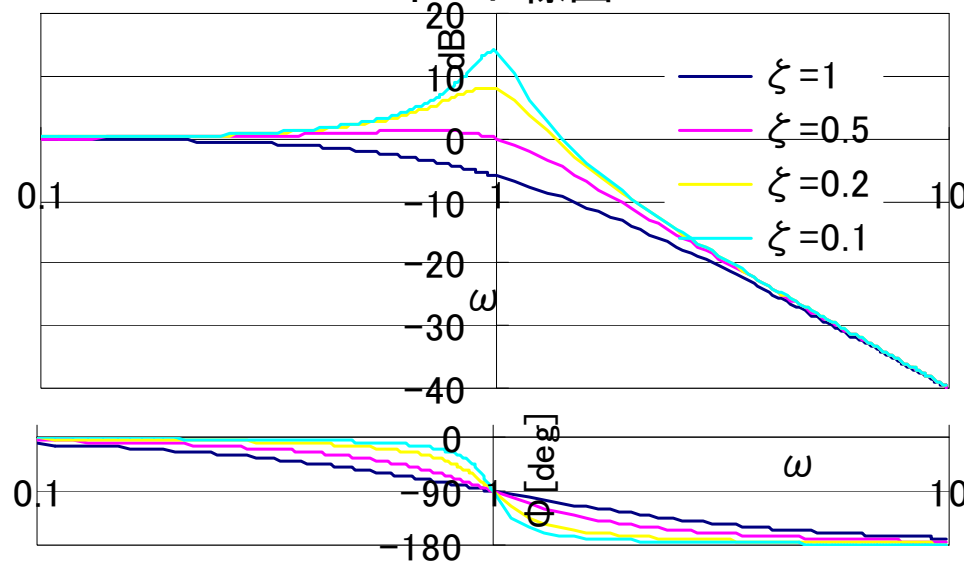
ニコルス線図



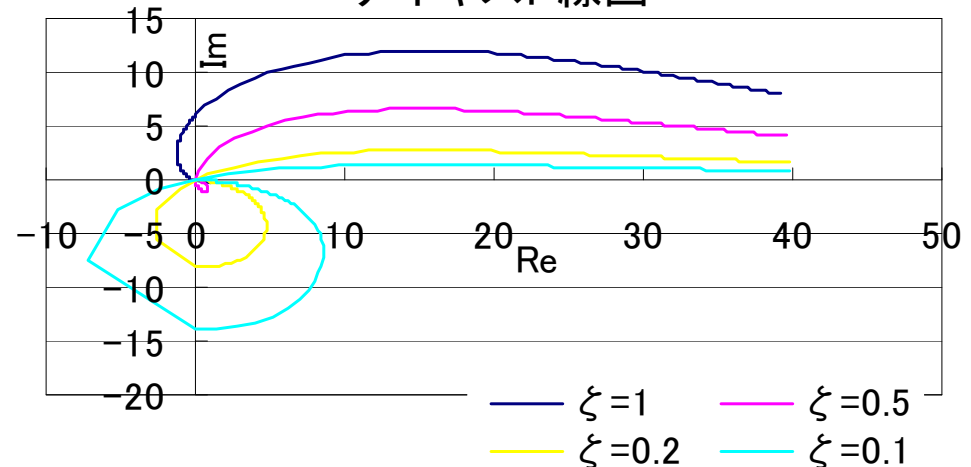
ニコルス線図

$$G(j\omega) = \frac{1}{1 + 2\zeta \left(j \frac{\omega}{\omega_n} \right) + \left(j \frac{\omega}{\omega_n} \right)^2}$$

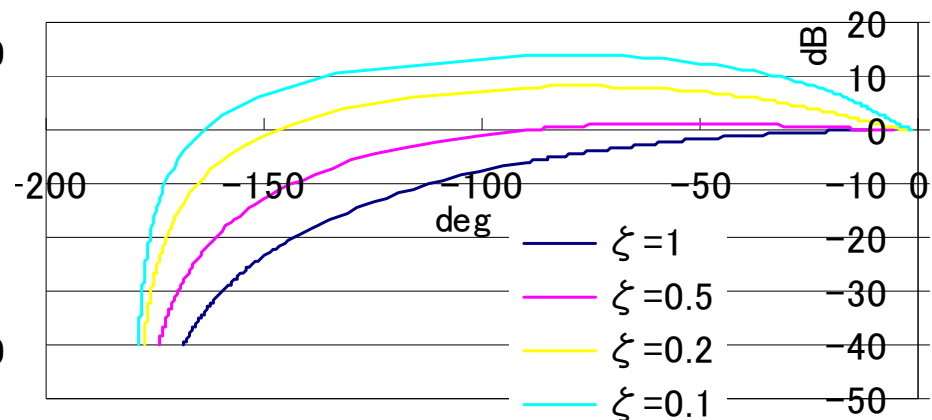
ボード線図



ナイキスト線図



ニコルス線図



過渡応答

過渡と定常状態

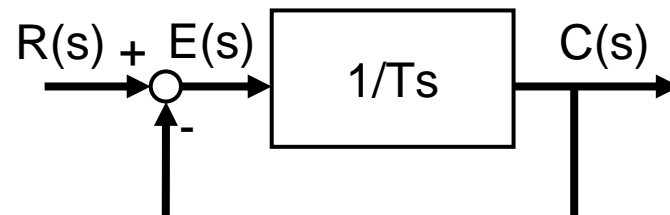
- 制御システムの時間応答

$$c(t) = c_{tr}(t) + c_{ss}(t)$$

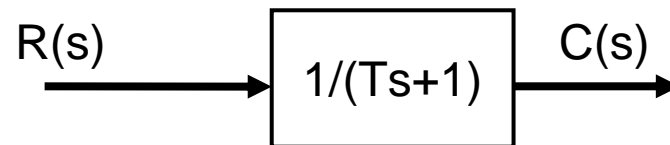
- 過渡応答 $C_{tr}(t)$
 - 初期状態から最終状態への遷移
- 定常状態 $C_{ss}(t)$
 - 時間 t が ∞ となった時の値
- 出力の入力に対する依存性
 - ステップ入力
 - インパルス入力
 - ランプ入力などなど

一次のシステムの応答

- 一次のシステム
 - 具体的には
 - RC回路
 - 熱回路
 - 伝達関数



まとめると



$$\begin{cases} C(s) = \frac{1}{Ts} E(s) \\ E(s) = R(s) - C(s) \end{cases}$$
$$C(s) = \frac{1}{Ts} [R(s) - C(s)]$$
$$C(s) \left[1 + \frac{1}{Ts} \right] = \frac{1}{Ts} R(s) \quad \frac{C(s)}{R(s)} = \frac{1}{Ts + 1}$$

一次のシステムの応答 単位ステップ入力1

- 入力 $R(s)$ が単位ステップ関数

- 伝達関数 $R(s) = \frac{1}{s}$

- 出力

$$C(s) = \frac{1}{Ts+1} \frac{1}{s}$$

- 部分分数展開 $C(s) = \frac{1}{s} - \frac{T}{Ts+1} = \frac{1}{s} - \frac{1}{s + \frac{1}{T}}$

- ラプラス逆変換 $c(t) = 1 - e^{-\frac{t}{T}}, t \geq 0$

- 時定数 T $c(T) = 1 - e^{-1} = 0.632$

一次のシステムの応答 単位ステップ入力2

- $t=0$ の接線の傾き

$$\left. \frac{dc(t)}{dt} \right|_{t=0} = \left. \frac{1}{T} e^{-\frac{t}{T}} \right|_{t=0} = \frac{1}{T}$$

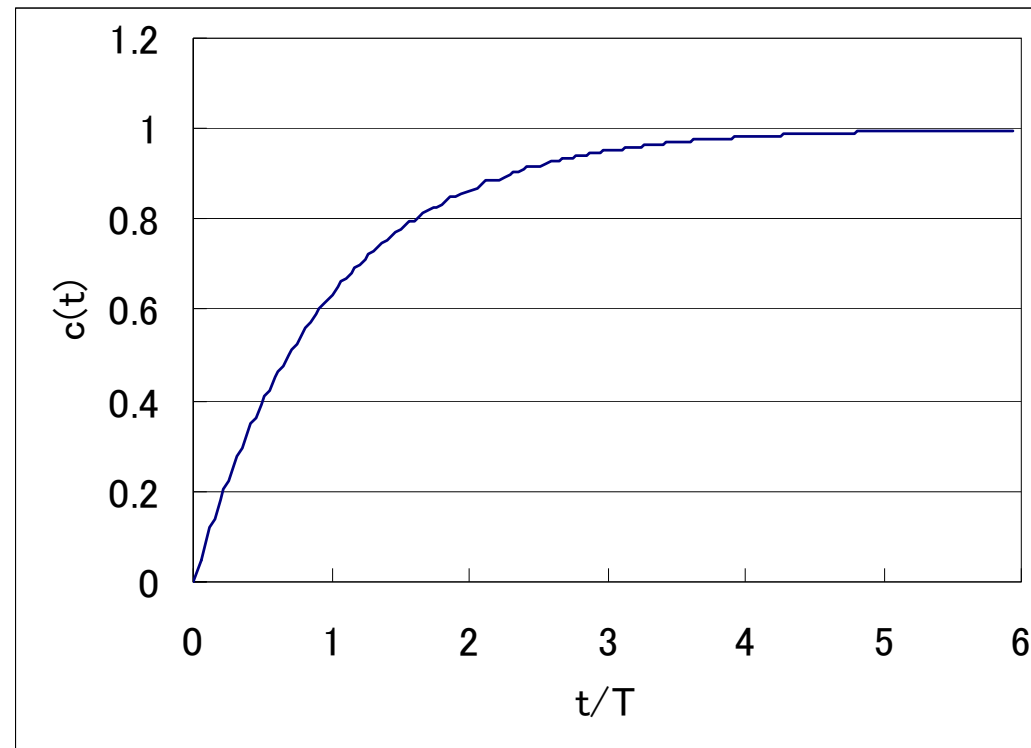
$$C(T) = 1 - e^{-1} = 0.632$$

$$C(2T) = 0.865$$

$$C(3T) = 0.95$$

$$C(4T) = 0.982$$

$$C(5T) = 0.993$$



$t > 4T$ では最終値に2%未満の誤差に近づく

一次のシステムの応答 ランプ波入力1

- 単位ランプ波入力 $R(s)$ $L[t^n] = n!s^{-(n+1)}$

- 伝達関数 $R(s) = \frac{1}{s^2}$

- 出力

$$C(s) = \frac{1}{Ts + 1} \frac{1}{s^2}$$

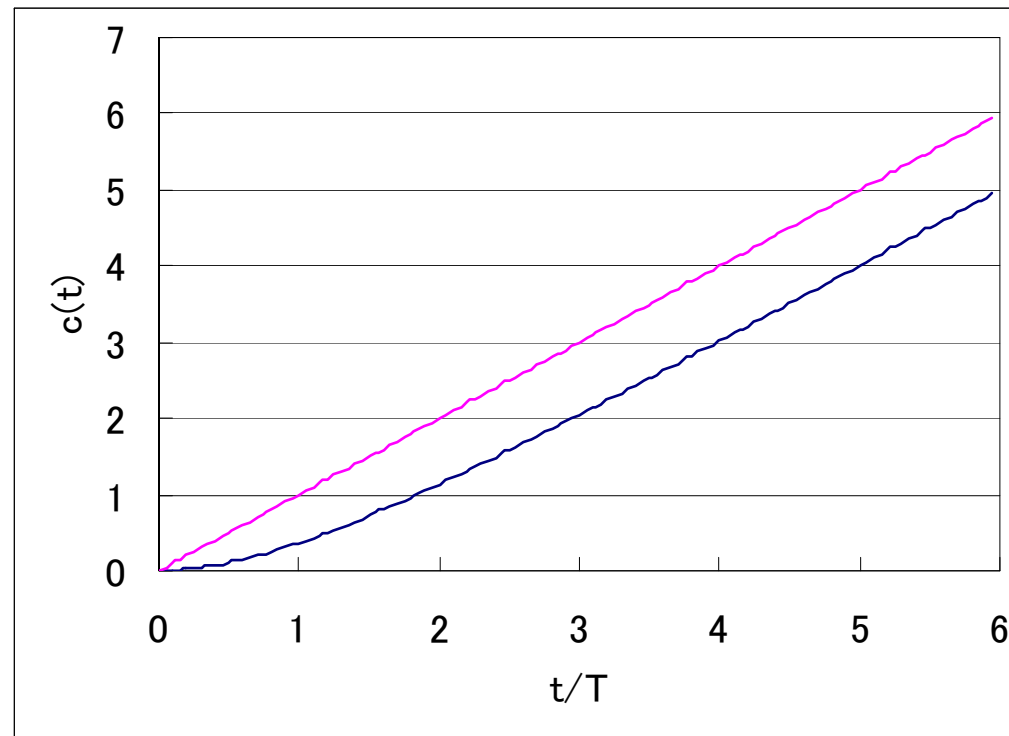
- 部分分数展開 $C(s) = \frac{1}{s^2} - \frac{T}{s} + \frac{T^2}{Ts + 1} = \frac{1}{s^2} - \frac{T}{s} + \frac{T}{s + \frac{1}{T}}$

- ラプラス逆変換 $c(t) = t - T + Te^{-\frac{t}{T}}, t \geq 0$

- 誤差 $e(t) = r(t) - c(t) = t - \left\{ t - T + Te^{-\frac{t}{T}} \right\} = T \left(1 - e^{-\frac{t}{T}} \right)$

一次のシステムの応答 ランプ波入力2

- 誤差 $e(t)$
 - $e^{-\frac{t}{T}}$ は
 $t \rightarrow \infty$ で $t=0$ となる
 $e(\infty) = T$
 - 時定数が
短いほど誤差小



一次のシステムの応答 インパルス入力1

- 単位インパルス波入力R(s)

- 伝達関数

$$R(s) = 1$$

- 出力 $C(s) = \frac{1}{Ts + 1}$

- ラプラス逆変換

$$c(t) = \frac{1}{T} e^{-\frac{t}{T}}, t \geq 0$$

